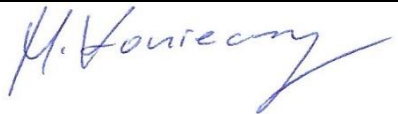




SPRAWOZDANIE NR OS/0601/23

Z POMIARÓW NATĘŻENIA PÓL ELEKTROMAGNETYCZNYCH

WYKONANYCH DLA CELÓW OCHRONY ŚRODOWISKA

Miejsce wykonania badania: <small>(dane uzyskane od zleceniodawcy)</small>	RYB1042B	
	44-270 Rybnik, Krzywoustego dz. nr 1499/86, pow. Rybnik, woj. ŚLĄSKIE	
Współrzędne geograficzne:	50°04'26.12"N 18°29'26.91"E	
Data wykonania pomiarów:	30.11.2023	
Data wydania sprawozdania:	30.11.2023	
Zleceniodawca:	P4 sp. z o.o. ul. Wynalazek 1 02-667 Warszawa	
Sprawozdanie sporządził:	Maciej Konieczny	
Sprawozdanie autoryzował:	Wojciech Lubiński	

1. INFORMACJE O UŻYTKOWNIKU

1.1. Zleceniodawca: P4 sp. z o.o. ul. Wynalazek 1, 02-667 Warszawa

1.2. Charakterystyka obiektu:

- **Typ obiekt:** Instalacja radiokomunikacyjna zainstalowana na wieży kratowej
- **Numer obiektu:** RYB1042B
- **Adres obiektu:** 44-270 Rybnik, Krzywoustego dz. nr 1499/86, pow. Rybnik, woj. ŚLĄSKIE
- **Współrzędne geograficzne:** 50°04'26.12"N 18°29'26.91"E

2. CHARAKTERYSTYKA ŹRÓDEŁ PEM (dane pozyskane od Klienta)

Tabela 1. Parametry systemu nadawczo-odbiorczego

Charakterystyka promieniowania				kierunkowa					
Rzeczywisty czas pracy [h/dobę]				Całodobowa 24h					
Warunki pracy				Znamionowe					
Rodzaj wytwarzanego pola				stacjonarne					
Lp.	Typ nadajnika	Antena Producent / Typ	Azymut [°]	Wysokość środka elektr. anteny [m n.p.t.]	Pasmo [Mhz]	Kąt nachylenia [°]	EIRP dla anteny [W]	LON	LAT
1	DBS3xxx/5xxx	Huawei ATR4518R6	40	47	800	0 - 10	12938	18°29'26.91"E	50°04'26.12"N
	DBS3xxx/5xxx				2600	0 - 10		18°29'26.91"E	50°04'26.12"N
2	DBS3xxx/5xxx	Huawei ATR4518R6	40	47	900	0 - 10	18103	18°29'26.91"E	50°04'26.12"N
	DBS3xxx/5xxx				1800	0 - 10		18°29'26.91"E	50°04'26.12"N
	DBS3xxx/5xxx				2100	0 - 10		18°29'26.91"E	50°04'26.12"N
3	DBS3xxx/5xxx	Huawei ATR4518R6	160	47	800	0 - 10	12938	18°29'26.91"E	50°04'26.12"N
	DBS3xxx/5xxx				2600	0 - 10		18°29'26.91"E	50°04'26.12"N
4	DBS3xxx/5xxx	Huawei ATR4518R6	160	47	900	0 - 10	18103	18°29'26.91"E	50°04'26.12"N
	DBS3xxx/5xxx				1800	0 - 10		18°29'26.91"E	50°04'26.12"N
	DBS3xxx/5xxx				2100	0 - 10		18°29'26.91"E	50°04'26.12"N
5	DBS3xxx/5xxx	Huawei ATR4518R6	280	47	800	0 - 10	12938	18°29'26.91"E	50°04'26.12"N
	DBS3xxx/5xxx				2600	0 - 10		18°29'26.91"E	50°04'26.12"N
6	DBS3xxx/5xxx	Huawei ATR4518R6	280	47	900	0 - 10	18103	18°29'26.91"E	50°04'26.12"N
	DBS3xxx/5xxx				1800	0 - 10		18°29'26.91"E	50°04'26.12"N
	DBS3xxx/5xxx				2100	0 - 10		18°29'26.91"E	50°04'26.12"N

Tabela 2. Parametry radiolinii

Charakterystyka promieniowania				kierunkowa					
Rzeczywisty czas pracy [h/dobę]				24					
Rodzaj wytwarzanego pola				stacjonarne					
Linia radiowa				Antena					
Lp.	Typ nadajnika	Częstotliwość pracy [GHz]	Moc wyjściowa [dBm]	Typ/producent	Średnica anteny [m]	Azymut [°]	Wysokość zainstal. [m]	LON	LAT
1	OPTIX RTN/HUAWEI	80	18	0.3-80(VHLP1-80)	0,3	53	45	18°29'26.91"E	50°04'26.12"N
2	OPTIX RTN/HUAWEI	80	19	0.6-80(VHLP2-80)	0,6	231	45	18°29'26.91"E	50°04'26.12"N

Inne źródła PEM: W obszarze pomiarowym badanego obiektu **nie występują** inne źródła promieniowania pola elektromagnetycznego, które w zakresie badanych częstotliwości bezpośrednio wpływają na wynik wartości mierzonej natężenia pola.

3. OPIS POMIARÓW

Cel badań: Sprawdzenie dotrzymania dopuszczalnych poziomów pól elektromagnetycznych, w otoczeniu instalacji wytwarzających takie pola.

3.1. Data pomiarów: 30.11.2023

3.2. Nazwiska osób wykonujących pomiary: Wojciech Lubiński

3.3. Osoba towarzysząca: brak

3.4. Aparatura pomiarowa:

Tabela 3. Opis zestawu pomiarowego

Nazwa	Typ/model	Numer fabryczny/SN	Świadectwo wzorcowania	Zastosowanie
Szerokopasmowy miernik natężenia pola elektromagnetycznego	NBM- 520	D-2225	LWiMP/W/087/22 z dnia 19.05.2022 (Laboratorium Wzorców i Metrologii Pola Elektromagnetycznego Instytutu Telekomunikacji, Teleinformatyki i Akustyki Politechniki Wrocławskiej)	Pomiary pola elektromagnetycznego
Sonda pomiarowa pola elektrycznego	EF-9091	A-0136		
Szerokopasmowy miernik natężenia pola elektromagnetycznego	NBM- 520	D-2187	LWiMP/W/381/22 z dnia 28.11.2022 (Laboratorium Wzorców i Metrologii Pola Elektromagnetycznego Instytutu Telekomunikacji, Teleinformatyki i Akustyki Politechniki Wrocławskiej)	
Sonda pomiarowa pola elektrycznego	EF-0691	J-0201		
Termohigrometr	ETI 600 224-600	D22060187	LPTW/327/2022 z dnia 10.05.2022 (LPTW)	Pomiary wilgotności względnej powietrza Pomiary temperatury powietrza
Dalmierz laserowy	PLR30C	221220722	45854/2 /2022 z dnia 17.05.2022 (Laboratorium pomiarowe LABOTRONIC)	Pomiar odległości
Odbiornik GPS	Garmin GLO2	1792A-A1156/5PS056463	-	Pomiar współrzędnych geograficznych

3.5. Wyznaczenie niepewności pomiarów:

Ocenę niepewności przyjmuje się zgodnie z procedurą stosowaną w laboratorium.

Wyznaczona rozszerzona niepewność pomiaru dla współczynnika rozszerzenia $k = 2$ dla zestawu pomiarowego z pkt.3.4 w dniu pomiaru wynosi 21,46%.

3.6. Kryteria przedstawiania stwierdzeń zgodności

Niniejsze sprawozdanie zgodnie z zasadami systemu akredytacji zawiera stwierdzenia zgodności.

W przypadku badań poziomów pola elektromagnetycznego w środowisku stwierdzenie zgodności dotyczy rozstrzygnięcia, czy zmierzona wartość opisująca pole elektromagnetyczne przekracza wartość dopuszczalną dla zakresu częstotliwości, w którym pracują źródła podaną w Rozporządzeniu Ministra Zdrowia z dnia 17 grudnia 2019 r. w sprawie dopuszczalnych poziomów pól elektromagnetycznych w środowisku (Dz. U. z 2019 r. poz. 2448).

3.7. Metodyka wykonania pomiarów:

Zastosowano metodę znormalizowaną w oparciu o Rozporządzenie Ministra Klimatu i Środowiska z dnia 6 maja 2022 r. zmieniające rozporządzenie w sprawie sposobów sprawdzania dotrzymania dopuszczalnych poziomów pól elektromagnetycznych w środowisku (Dz.U. 2022 poz. 1121).

3.8. Przepisy prawne:

- Ustawa z dnia 27 kwietnia 2001 r. Prawo ochrony środowiska (Dz. U. 2022 poz. 2556).
- Rozporządzenie Ministra Zdrowia z dnia 17 grudnia 2019 r. w sprawie dopuszczalnych poziomów pól elektromagnetycznych w środowisku (Dz. U. z 2019 r. poz. 2448).
- Rozporządzenie Ministra Klimatu z dnia 17 lutego 2020 r. w sprawie sposobów sprawdzania dotrzymania dopuszczalnych poziomów pól elektromagnetycznych w środowisku Załącznik do obwieszczenia Ministra Klimatu i Środowiska z dnia 21 listopada 2022 r. (Dz. U. poz. 2630)

3.9. Opis pomiarów

Stacja bazowa RYB1042B usytuowana jest na wieży kratowej zlokalizowanej pod adresem 44-270 Rybnik, Krzywoustego dz. nr 1499/86, pow. Rybnik, woj. ŚLĄSKIE. Anteny i moduły RRU zamontowane są na antenowych konstrukcjach wsporczych a urządzenia są w szafie APM zainstalowanej u podnóża wieży. W najbliższym otoczeniu stacji zlokalizowana jest zabudowa jednorodzinna, zabudowa gospodarcza oraz zabudowa usługowa. Analiza parametrów technicznych wykazała, że urządzenia nadawcze stacji pracują w paśmie częstotliwości zgodnie z tabelą 1 oraz tabelą 2. Moc wyjściowa nadajników doprowadzona jest do anten przy pomocy ekranowanych fiderów.

Pomiary w otoczeniu Stacji bazowej wykonano wzdłuż kierunków maksymalnego zasięgu oddziaływania pola elektromagnetycznego na azymucie anten sektorowych do odległości określonej zgodnie z wytycznymi zawartymi w instrukcji wykonywania pomiarów, w godzinach od 14:20 do 15:10, podczas rzeczywistej pracy urządzeń wytwarzających pola elektromagnetyczne. Pomiary wykonano dla średniego pochylenia wiązki liczonego jako średnia arytmetyczna z minimalnej i maksymalnej wartości stosowanego lub planowanego kąta pochylenia

Pomiary w przyjętych pionach pomiarowych wykonano w punktach położonych na wysokościach od 0,3 m do 2,0 m nad powierzchnią ziemi lub nad innymi powierzchniami, na których mogą przebywać ludzie, przyjmując za wynik pomiaru maksymalny poziom natężenie pól elektromagnetycznego.

Przy doborze pionów pomiarowych uwzględniono charakter i sposób zagospodarowania terenu otaczającego stację bazową.

3.10. Warunki meteorologiczne / środowiskowe:

Miejsce pomiaru	Temperatura (Minimalna/Maksymalna) [°C]	Wilgotność (Minimalna/Maksymalna) [%]	Opady atmosferyczne
Ulica	1,3/1,4	59,9/60,1	nie wystąpiły

3.11. Sposób identyfikacji widma częstotliwości:

Parametry stacji bazowej uzyskane od właściciela instalacji stacji bazowej.

4. WYNIKI POMIARÓW

Wyniki pomiarów ważne są jedynie dla danej konfiguracji urządzeń w dniu, w którym wykonano pomiary.

Wynik pomiaru, to maksymalna wartości chwilowa zmierzona w danym pionie pomiarowym powiększona o rozszerzoną niepewność pomiaru U dla współczynnika rozszerzenia $k = 2$.

Tabela 3. Dopuszczalne poziomy pól elektromagnetycznych

Parametr fizyczny	Składowa elektryczna	Składowa magnetyczna
Zakres częstotliwości pola elektromagnetycznego		
od 400 MHz do 2000 MHz	$1,375 \times f^{0,5}$ V/m	$0,00375 \times f^{0,5}$ A/m
Od 2 GHz do 300 GHz	61 V/m	0,16 A/m

Do wyznaczania wartości wskaźnikowych WM_E i WM_H przyjęto najniższe wartości dopuszczalne poziomów pól elektromagnetycznych w/w zakresach częstotliwości.

Tabela 4. Wyniki pomiarów

Nr pionu	Opis miejsca pomiaru	Pomiar wewnątrz pomieszczenia	Współrzędne geograficzne		Wynik poniżej progu detekcji*	E_p [V/m]	U [V/m]	$E_p + U$ [V/m]	H [A/m]	WM_E	WM_H	Przekroczenie wartości dopuszczalnej
			[°] N	[°] E								
1	Poziom gruntu - os głównej wiązki anteny sektorowej azymut 280st	NIE	50,073906746	18,490351575	NIE	1,26	0,28	1,54	0,004	0,06	0,055	nie przekracza
2	Poziom gruntu - os głównej wiązki anteny sektorowej azymut 280st	NIE	50,073937626	18,490124159	NIE	2,09	0,45	2,54	0,007	0,09	0,091	nie przekracza
3	Poziom gruntu - os głównej wiązki anteny sektorowej azymut 280st	NIE	50,073977084	18,489747809	NIE	2,28	0,49	2,77	0,007	0,10	0,099	nie przekracza
4	Poziom gruntu - os głównej wiązki anteny sektorowej azymut 280st	NIE	50,074038423	18,489226888	NIE	1,79	0,39	2,18	0,006	0,08	0,078	nie przekracza
5	Poziom gruntu - os głównej wiązki anteny sektorowej azymut 280st	NIE	50,074151145	18,488302592	NIE	1,30	0,28	1,58	0,004	0,06	0,057	nie przekracza
6	Poziom gruntu - os głównej wiązki anteny sektorowej azymut 280st	NIE	50,074243376	18,487390838	NIE	1,34	0,29	1,63	0,004	0,06	0,058	nie przekracza
7	Poziom gruntu - os głównej wiązki anteny sektorowej azymut 280st	NIE	50,074393058	18,486111995	NIE	0,96	0,21	1,17	0,003	0,04	0,042	nie przekracza
8	Poziom gruntu - os głównej wiązki anteny sektorowej azymut 160st	NIE	50,073767408	18,490616709	NIE	1,09	0,24	1,33	0,004	0,05	0,048	nie przekracza
9	Poziom gruntu - os głównej wiązki anteny sektorowej azymut 160st	NIE	50,073503731	18,490774316	NIE	1,65	0,36	2,01	0,005	0,07	0,072	nie przekracza

Nr pionu	Opis miejsca pomiaru	Pomiar wewnątrz pomieszczenia	Współrzędne geograficzne		Wynik poniżej progu detekcji*	E _p [V/m]	U [V/m]	E _p + U [V/m]	H [A/m]	WME	WMH	Przekroczenie wartości dopuszczalnej
			[°] N	[°] E								
10	Poziom gruntu - oś głównej wiązki anteny sektorowej azymut 160st	NIE	50,073258489	18,490908338	NIE	2,17	0,47	2,64	0,007	0,09	0,095	nie przekracza
11	Poziom gruntu - oś głównej wiązki anteny sektorowej azymut 160st	NIE	50,072931878	18,491098111	NIE	1,68	0,37	2,05	0,005	0,07	0,073	nie przekracza
12	Poziom gruntu - oś głównej wiązki anteny sektorowej azymut 160st	NIE	50,072399847	18,491396544	NIE	1,35	0,29	1,64	0,004	0,06	0,059	nie przekracza
13	Poziom gruntu - oś głównej wiązki anteny sektorowej azymut 160st	NIE	50,072008581	18,491623522	NIE	1,02	0,22	1,24	0,003	0,04	0,044	nie przekracza
14	Poziom gruntu - oś głównej wiązki anteny sektorowej azymut 160st	NIE	50,071160124	18,492098690	TAK	<0,80	0,18	0,98	0,003	0,04	0,035	nie przekracza
15	Warsztat samochodowy - oś głównej wiązki anteny sektorowej azymut 160st	NIE	50,073673368	18,490619613	TAK	<0,80	0,18	0,98	0,003	0,04	0,035	nie przekracza
16	Poziom gruntu - oś głównej wiązki anteny sektorowej azymut 40st	NIE	50,073944632	18,490628353	NIE	1,32	0,29	1,61	0,004	0,06	0,058	nie przekracza
17	Poziom gruntu - oś głównej wiązki anteny sektorowej azymut 40st	NIE	50,074046895	18,490758720	NIE	1,93	0,42	2,35	0,006	0,08	0,084	nie przekracza
18	Poziom gruntu - oś głównej wiązki anteny sektorowej azymut 40st	NIE	50,074182981	18,490933318	NIE	2,16	0,47	2,63	0,007	0,09	0,094	nie przekracza
19	Poziom gruntu - oś głównej wiązki anteny sektorowej azymut 40st	NIE	50,074337473	18,491143928	NIE	1,84	0,40	2,24	0,006	0,08	0,080	nie przekracza
20	Poziom gruntu - oś głównej wiązki anteny sektorowej azymut 40st	NIE	50,074752489	18,491685309	NIE	1,09	0,24	1,33	0,004	0,05	0,048	nie przekracza
21	Poziom gruntu - oś głównej wiązki anteny sektorowej azymut 40st	NIE	50,075227823	18,492253920	NIE	1,32	0,29	1,61	0,004	0,06	0,058	nie przekracza
22	Poziom gruntu - oś głównej wiązki anteny sektorowej azymut 40st	NIE	50,076113355	18,493455995	NIE	1,08	0,24	1,32	0,004	0,05	0,047	nie przekracza
23	Budynek mieszkalny - oś głównej wiązki anteny sektorowej azymut 40st	NIE	50,074332519	18,490937427	TAK	<0,80	0,18	0,98	0,003	0,04	0,035	nie przekracza
24	Poziom gruntu - oś głównej wiązki anteny radioliniowej azymut 231st	NIE	50,073823255	18,490426781	NIE	1,32	0,29	1,61	0,004	0,06	0,058	nie przekracza
25	Poziom gruntu - oś głównej wiązki anteny radioliniowej azymut 231st	NIE	50,073707520	18,490207550	NIE	1,63	0,35	1,98	0,005	0,07	0,071	nie przekracza
26	Poziom gruntu - oś głównej wiązki anteny radioliniowej azymut 231st	NIE	50,073535795	18,489880477	NIE	1,09	0,24	1,33	0,004	0,05	0,048	nie przekracza
27	Poziom gruntu - oś głównej wiązki anteny radioliniowej azymut 231st	NIE	50,073386693	18,489584954	NIE	1,16	0,25	1,41	0,004	0,05	0,051	nie przekracza
28	Poziom gruntu - oś głównej wiązki anteny radioliniowej azymut 231st	NIE	50,073323104	18,489469958	NIE	0,94	0,21	1,15	0,003	0,04	0,041	nie przekracza
29	Poziom gruntu - oś głównej wiązki anteny radioliniowej azymut 53st	NIE	50,073976199	18,490742846	NIE	1,33	0,29	1,62	0,004	0,06	0,058	nie przekracza
30	Poziom gruntu - oś głównej wiązki anteny radioliniowej azymut 53st	NIE	50,074143530	18,491083614	NIE	1,31	0,29	1,60	0,004	0,06	0,057	nie przekracza
31	Poziom gruntu - oś głównej wiązki anteny radioliniowej azymut 53st	NIE	50,074281108	18,491362779	NIE	1,09	0,24	1,33	0,004	0,05	0,048	nie przekracza
32	Poziom gruntu - oś głównej wiązki anteny radioliniowej azymut 53st	NIE	50,074429937	18,491671206	NIE	1,05	0,23	1,28	0,003	0,05	0,046	nie przekracza
33	Poziom gruntu - pomocniczy pion pomiarowy	NIE	50,073790182	18,491314999	NIE	1,16	0,25	1,41	0,004	0,05	0,051	nie przekracza

Nr pionu	Opis miejsca pomiaru	Pomiar wewnątrz pomieszczenia	Współrzędne geograficzne		Wynik poniżej progu detekcji*	E_p [V/m]	U [V/m]	$E_p + U$ [V/m]	H [A/m]	WM_E	WM_H	Przekroczenie wartości dopuszczalnej
			[°] N	[°] E								
34	Poziom gruntu - pomocniczy pion pomiarowy	NIE	50,073347650	18,491314804	NIE	1,04	0,23	1,27	0,003	0,05	0,046	nie przekracza
35	Poziom gruntu - pomocniczy pion pomiarowy	NIE	50,074121061	18,491976740	NIE	1,01	0,22	1,23	0,003	0,04	0,044	nie przekracza
36	Poziom gruntu - pomocniczy pion pomiarowy	NIE	50,073450564	18,491824279	NIE	0,86	0,19	1,05	0,003	0,04	0,038	nie przekracza
37	Poziom gruntu - pomocniczy pion pomiarowy	NIE	50,073680762	18,490385522	NIE	1,35	0,29	1,64	0,004	0,06	0,059	nie przekracza
38	Poziom gruntu - pomocniczy pion pomiarowy	NIE	50,073324041	18,490410460	NIE	1,25	0,27	1,52	0,004	0,05	0,054	nie przekracza
39	Poziom gruntu - pomocniczy pion pomiarowy	NIE	50,073158649	18,489778775	NIE	0,94	0,21	1,15	0,003	0,04	0,041	nie przekracza
40	Poziom gruntu - pomocniczy pion pomiarowy	NIE	50,072378534	18,490663723	NIE	0,96	0,21	1,17	0,003	0,04	0,042	nie przekracza
41	Poziom gruntu - pomocniczy pion pomiarowy	NIE	50,073842740	18,493036769	NIE	0,81	0,18	0,99	0,003	0,04	0,035	nie przekracza
42	Poziom gruntu - pomocniczy pion pomiarowy	NIE	50,072584518	18,492821875	NIE	1,04	0,23	1,27	0,003	0,05	0,046	nie przekracza
43	Poziom gruntu - pomocniczy pion pomiarowy	NIE	50,072027858	18,493232082	NIE	0,92	0,20	1,12	0,003	0,04	0,040	nie przekracza
44	Poziom gruntu - pomocniczy pion pomiarowy	NIE	50,074752504	18,488700501	NIE	1,17	0,26	1,43	0,004	0,05	0,051	nie przekracza
45	Poziom gruntu - pomocniczy pion pomiarowy	NIE	50,07505955	18,48937974	NIE	1,27	0,28	1,55	0,004	0,06	0,056	nie przekracza
46	Poziom gruntu - pomocniczy pion pomiarowy	NIE	50,07545699	18,49071779	TAK	<0,80	0,18	0,98	0,003	0,04	0,035	nie przekracza

Objaśnienia:

$$E_p: E_{poprawne} = E_{wskazane} * C_{d(E)} * C_{f(f)}$$

$E_{wskazane}$ - zmierzona maksymalna wartość chwilowa natężenia pola elektrycznego

$C_{d(E)}$ – charakterystyka dynamiczna sondy – zgodna ze świadectwem wzorcowania

$C_{f(f)}$ – charakterystyka częstotliwościowa sondy – zgodna ze świadectwem wzorcowania

U - rozszerzona niepewność pomiaru dla współczynnika rozszerzenia $k=2$ (poziom ufności 95%) – $U = k \times u_c$

H – wyznaczona wartość natężenia pola magnetycznego z uwzględnieniem współczynnika korekcyjnego oraz rozszerzonej niepewności pomiaru.

WM_E - wartość wskaźnikowa poziomu oddziaływania pól elektromagnetycznych dla miejsc dostępnych dla ludności dla składowej elektrycznej pola.

WM_H - wartość wskaźnikowa poziomu oddziaływania pól elektromagnetycznych dla miejsc dostępnych dla ludności dla składowej magnetycznej pola.

* Wynik poniżej progu detekcji - wartość zmierzona poniżej zakresu akredytacji. Do obliczeń przyjęto wartość zgodną z dolną granicą akredytowanego zakresu pomiarowego metody.

5. WNIOSKI

Stwierdza się, iż na podstawie uzyskanych wyników pomiarów i informacji uzyskanych od operatora, w otoczeniu stacji bazowej telefonii komórkowej RYB1042B w miejscach dostępnych dla ludności, w których dokonano pomiaru, nie zostały przekroczone wartości graniczne poziomów pól elektromagnetycznych określonych w Rozporządzeniu Ministra Zdrowia z dnia 17 grudnia 2019 r. w sprawie dopuszczalnych poziomów pól elektromagnetycznych w środowisku (Dz. U. z 2019 r. poz. 2448).

Stwierdzenie zgodności zostało przedstawione na podstawie wyników badań oraz informacji uzyskanych od klienta (za które Laboratorium nie ponosi odpowiedzialności) dla instalacji opisanej w punkcie 2. Stwierdzenia zgodności dokonano na podstawie zasady podejmowania decyzji i wymagań zawartych w załączniku do Rozporządzenia Ministra Klimatu z dnia 17 lutego 2020 r. w sprawie sposobów sprawdzania dotrzymania dopuszczalnych poziomów pól elektromagnetycznych w środowisku (Dz.U. 2022 poz. 2630 z 15.12.2022r.).

- Sprawozdanie zawiera 8 stron
- załączniki: nr 1 – mapa z rozmieszczeniem pionów pomiarowych wokół obiektu

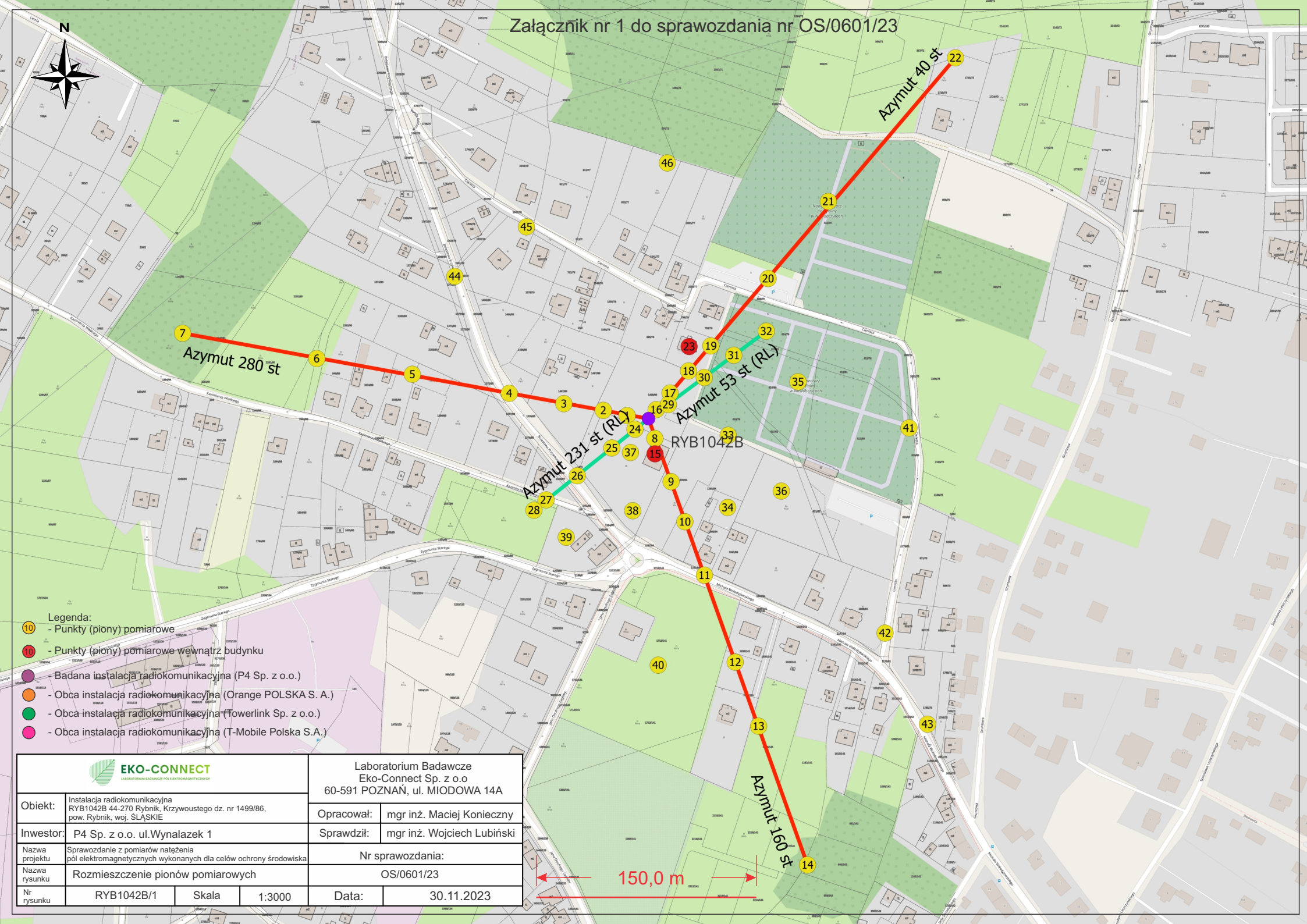
Bez pisemnego zezwolenia laboratorium Eko-Connect sprawozdanie nie może być powielane inaczej, jak tylko w całości.

■ Otrzymują:

1. Zleceniodawca: - 1 egz.
2. a / a: 1 egz.

Koniec sprawozdania

Załącznik nr 1 do sprawozdania nr OS/0601/23



Legenda:

- Punkty (piony) pomiarowe
- Punkty (piony) pomiarowe wewnątrz budynku
- Badana instalacja radiokomunikacyjna (P4 Sp. z o.o.)
- Obca instalacja radiokomunikacyjna (Orange POLSKA S. A.)
- Obca instalacja radiokomunikacyjna (Towerlink Sp. z o.o.)
- Obca instalacja radiokomunikacyjna (T-Mobile Polska S.A.)



Laboratorium Badawcze
Eko-Connect Sp. z o.o.
60-591 POZNAŃ, ul. MIODOWA 14A

				60-591 POZNAN, ul. MIODOWA 14A	
Obiekt:	Instalacja radiokomunikacyjna RYB1042B 44-270 Rybnik, Krzywoustego dz. nr 1499/86, pow. Rybnik, woj. ŚLĄSKIE			Opracował:	mgr inż. Maciej Konieczny
Inwestor:	P4 Sp. z o.o. ul.Wynałazek 1			Sprawdził:	mgr inż. Wojciech Lubiński
Nazwa projektu	Sprawozdanie z pomiarów natężenia pól elektromagnetycznych wykonanych dla celów ochrony środowiska			Nr sprawozdania:	
Nazwa rysunku	Rozmieszczenie pionów pomiarowych			OS/0601/23	
Nr rysunku	RYB1042B/1	Skala	1:3000	Data:	30.11.2023